

# О свойствах безопасности одного режима работы блочных шифров при наличии у нарушителя доступа к квантовому оракулу

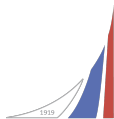
Коренева А.М.<sup>1,2</sup>, Фирсов Г.В.<sup>1,3</sup>

<sup>1</sup>ООО «Код Безопасности»

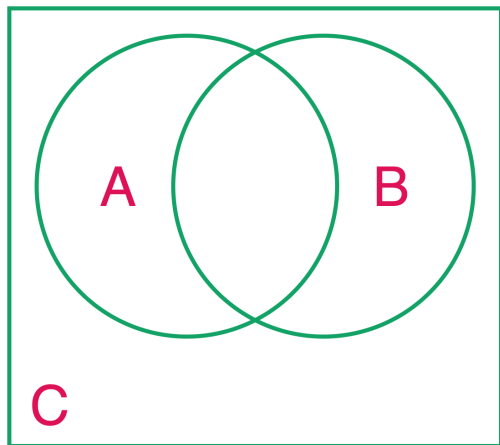
<sup>2</sup>Финансовый университет при Правительстве РФ

<sup>3</sup>НИЯУ МИФИ

21 марта 2024



Днём ранее...



**A** — Алгоритмы, на которые построена “классическая” атака.

**B** — Алгоритмы, для которых показано, что

$$\exists \mathcal{A} : \mathbf{Adv}(\mathcal{A}) \neq \mathit{negl}(\lambda).$$

**C** — Нестойкие алгоритмы.

Маршалко Г. Б., Фомин Д. Б. Показуемая стойкость в задаче обфускации криптографических исследований. РусКрипто'2024.

# Структура доклада

- 1 Необходимые определения
- 2 Режим DEC
- 3 Модель qROP-qfdeCPA
- 4 Предварительные сведения
- 5 Построение атаки

# Научный фундамент

- 1 Schrottenloher A. Quantum Algorithms for Cryptanalysis and Quantum-safe Symmetric Cryptography. Sorbonne Université, 2021.
- 2 Nakahara M., Ohmi T. Quantum computing : from linear algebra to physical realizations, 2008.
- 3 Firsov G. and Koreneva A. On one block cipher mode of operation used to protect data on block-oriented storage devices // Modern Inform. Technologies and IT-Education, 2022.
- 4 Рекомендации по стандартизации Р 1323565.1.042–2022 «Информационная технология. Криптографическая защита информации. Режим работы блочных шифров, предназначенный для защиты носителей информации с блочно-ориентированной структурой». М.: Стандартинформ, 2022.
- 5 Nemoz T., Amblard Z., Dupin A. Characterizing the qIND-qCPA (in)security of the CBC, CFB, OFB and CTR modes of operation. Cryptology ePrint Archive, Paper 2022/236, 2022.
- 6 Maria Naya-Plasencia. New Results on Symmetric Quantum Cryptanalysis and Perspectives. Indocrypt 2021, 2021.

# Принятые сокращения

- ПДШ (FDE) — Полнодисковое шифрование
- CPA — Chosen plaintext attack (атака по подобранному открытому тексту)
- DEC — Режим Disk Encryption with Counter

# Кубит и квантовый регистр

*Кубит* — единица информации в квантовом компьютере. Кубит описывается *вектором состояния*  $|\psi\rangle = \alpha|0\rangle + \beta|1\rangle$ , где  $\alpha, \beta \in \mathbb{C}$ ,  $|\alpha|^2 + |\beta|^2 = 1$ . Вектор  $|\psi\rangle$  принадлежит гильбертову пространству  $\mathcal{H}$ .

*Квантовый регистр* длины  $n$  описывается состоянием  $|\psi_1\rangle \otimes \cdots \otimes |\psi_n\rangle$ , которое для краткости будем записывать как  $|\psi_1, \dots, \psi_n\rangle$  или как  $|\psi\rangle$ , если длина регистра ясна из контекста.

Знак тензорного произведения ( $\otimes$ ) иногда будем опускать для краткости записи.

# Изменение квантового состояния

Состояние изменяется под воздействием на него *унитарного оператора*  $U$ , что записывается следующим образом:  $|\phi\rangle = U|\psi\rangle$ .

Пусть  $n \geq 1$ ,  $U : \mathcal{H} \rightarrow \mathcal{H}$ ,  $|\psi\rangle \in \mathcal{H}^{\otimes n}$ . Воздействие оператора  $U^{\otimes n}$  на состояние  $|\psi\rangle$  будем записывать короче:  $U|\psi\rangle$ .

## Некоторые операторы

- $I$  — тождественный оператор, задается матрицей  $\begin{vmatrix} 1 & 0 \\ 0 & 1 \end{vmatrix}$ .
- $H$  — оператор Адамара, задается матрицей  $\frac{1}{\sqrt{2}} \begin{vmatrix} 1 & 1 \\ 1 & -1 \end{vmatrix}$ .
- $CX$  — оператор контролируемого «НЕ», задается матрицей  $\begin{vmatrix} 1 & 0 & 0 & 0 \\ 0 & 1 & 0 & 0 \\ 0 & 0 & 0 & 1 \\ 0 & 0 & 1 & 0 \end{vmatrix}$ .

# Запутанные состояния

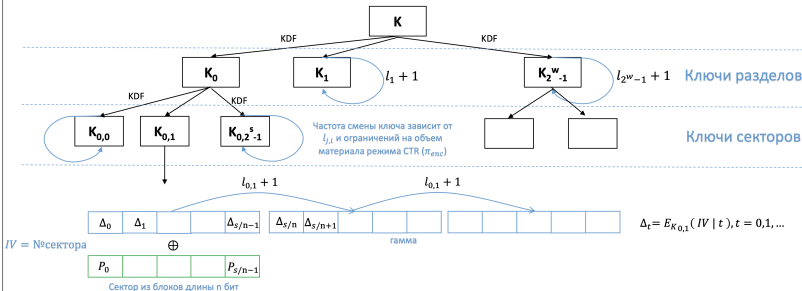
Состояние  $|\psi\rangle \in \mathcal{H}_1 \otimes \mathcal{H}_2$  называется *запутанным*, если для любых  $|\psi_1\rangle \in \mathcal{H}_1$  и  $|\psi_2\rangle \in \mathcal{H}_2$  верно:  $|\psi\rangle \neq |\psi_1\rangle \otimes |\psi_2\rangle$ .



## Обозначения

- $V_m$  — множество двоичных строк длины  $m \in \mathbb{N}$
- $V^*$  — множество двоичных строк конечной длины
- $l \in \mathbb{N}$  — длина блока блочного шифра
- $n \in \mathbb{N}$  — количество блоков в секторе
- $\text{Perm}[X]$  — множество подстановок некоторого множества  $X$
- $\mathcal{H}_x, \mathcal{H}_y$  — пространства, такие, что для состояния  $|x\rangle|y\rangle \in \mathcal{H}$ :  $\mathcal{H} = \mathcal{H}_x \otimes \mathcal{H}_y$ ,  
 $|x\rangle \in \mathcal{H}_x, |y\rangle \in \mathcal{H}_y$ .

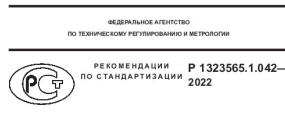
## DEC – Disk Encryption with CTR and KDF



KDF – Р 1323565.1.022-2018

 $l_i, l_{j,i} \in V_{n/2}$ , -параметры для учета количества обработанного материала,  $n$  – размер блочного шифра.

www.ruscrypto.ru



Информационная технология  
КРИПТОГРАФИЧЕСКАЯ ЗАЩИТА ИНФОРМАЦИИ  
Режим работы блочных шифров, предназначенный  
для защиты носителей информации  
с блочно-ориентированной структурой

Издание официальное

Введен  
Российская Федерация с 01.01.2022

### Схема работы режима DEC

Богданов Д., Ноздрунов В. Шифрование носителей информации. Режим DEC. РусКрипто'2021

# Модель qROP-qfdeCPA

Модель qROP-qfdeCPA (Real Or Permutation Indistinguishability under Chosen Plaintext Attack with quantum queries and FDE restrictions) определяется следующим образом:

- $\tilde{\mathcal{E}}$  — настраиваемый шифр;
- $\mathcal{K}$  — ключевое множество;
- $\mathcal{M} = V^*$  — множество открытых текстов;
- $\mathcal{T}$  — множество настроек;
- $\tilde{E}$  — функция зашифрования шифра  $\tilde{\mathcal{E}}$ .

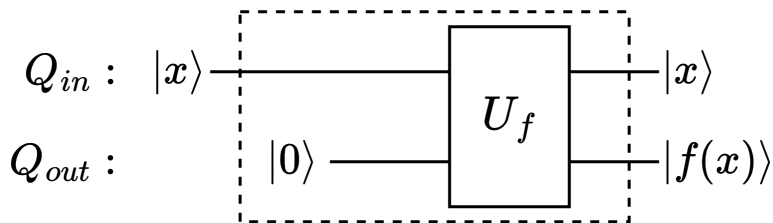
Случайно и равномерно выбирается значение  $b \in \{0, 1\}$ , неизвестное нарушителю  $\mathcal{A}$ . Экспериментатор  $\text{Exp}$  случайно и равномерно выбирает ключ  $k \in \mathcal{K}$ .

# Модель qROP-qfdeCPA

Нарушитель  $\mathcal{A}$  совершает запросы вида  $|\mathcal{L}_i\rangle|m_i\rangle$ , в ответ на которые получает:

$$|\mathcal{L}_i\rangle|m_i\rangle \left| \tilde{E} \left( k, S(\mathcal{L}_i, s_i), \phi_i^b(m_i) \right) \right\rangle,$$

где  $i \geq 1$ ,  $\mathcal{L}_i \in \mathcal{T}$ ,  $m_i \in \mathcal{M}$ ,  $\phi_i \in \text{Perm} [V_{|m_i|}]$  выбрана случайно и равновероятно,  $s_i \in \mathcal{S}$  — внутреннее состояние экспериментатора,  $\mathcal{S}$  — множество внутренних состояний экспериментатора,  $S : \mathcal{T} \times \mathcal{S} \rightarrow \mathcal{T}$ .



Модель qROP-qfdeCPA

Далее нарушитель  $\mathcal{A}$  возвращает  $b' \in \{0, 1\}$  (будем записывать  $\mathcal{A} \Rightarrow b'$ ).

Преобладанием нарушителя  $\mathcal{A}$  назовем величину:

$$\mathbf{Adv}_{\frac{\epsilon}{2}}^{\text{qROP-qfdeCPA}}(\mathcal{A}) = \Pr[\mathcal{A} \Rightarrow 1 | b = 1] - \Pr[\mathcal{A} \Rightarrow 1 | b = 0].$$

# Модель qROP-qfdeCPA

Модель qROP-qfdeCPA относится к классу моделей  $Q_2$  [6]: нарушитель может совершать квантовые запросы к квантовому оракулу.

# Предварительные сведения

## Лемма 1

Пусть  $f : V_m \rightarrow V_n$  для некоторых  $m, n \in \mathbb{N}$ . Рассмотрим состояние  $\frac{1}{2^{m/2}} \sum_{x \in V_m} |x\rangle |f(x)\rangle$ .

Подействуем на него оператором  $H \otimes I$ . Тогда при измерении первого регистра вероятность получить  $|0\rangle$  равна:

$$\Pr[|0\rangle] = \frac{1}{2^{2m}} \sum_{y \in V_n} |f^{-1}(y)|^2,$$

где  $f^{-1} : V_n \rightarrow \mathcal{P}(V_m)$  — функция, возвращающая для  $y \in V_n$  множество его прообразов относительно функции  $f$ .

# Построение атаки

## Теорема 1

Пусть  $\pi \in \text{Perm}[V_l]$  — случайная подстановка множества  $V_l$ . Тогда существует такой нарушитель  $\mathcal{A}$ , что:

$$\text{Adv}_{\text{DEC}^\pi}^{\text{qROP-qfdeCPA}}(\mathcal{A}) = 1 - 2^{1-nl}.$$

При этом  $\mathcal{A}$  совершает один запрос к экспериментатору **Exp**.



# Построение атаки

## Доказательство теоремы 1

Нарушитель  $\mathcal{A}$  подготавливает состояние  $|\psi\rangle = |\mathcal{L}\rangle|+\rangle$ , где  $|+\rangle$  — сокращенное обозначение состояния  $|+\rangle^{\otimes nl} = \sum_{x \in V_{nl}} |x\rangle$ ,  $\mathcal{L} \in \mathcal{T}$  выбрано произвольно так, что  $|\mathcal{L}\rangle$  — один из векторов вычислительного базиса пространства  $\mathcal{H}_{\mathcal{L}}$ . Положим  $\mathcal{L} = 0$ .

Далее нарушитель посылает  $|\psi\rangle$  оракулу зашифрования.

# Построение атаки

## Доказательство теоремы 1

В ответ нарушитель получает состояние:

$$|r\rangle = \begin{cases} |\mathcal{L}\rangle \sum_{x \in V_{nl}} |x\rangle |\phi(x) \oplus \gamma\rangle, & b = 0, \\ |\mathcal{L}\rangle \sum_{x \in V_{nl}} |x\rangle |x \oplus \gamma\rangle, & b = 1, \end{cases}$$

где  $\phi$  — подстановка, случайно и равновероятно выбранная из  $\text{Perm}[V_{nl}]$ ,  $\gamma = \gamma(\pi, \mathcal{L})$  — двоичная строка, выработанная по описанному в [4] алгоритму с помощью подстановки  $\pi$  и пары  $\mathcal{L}$  (номеров раздела и сектора).

# Построение атаки

## Доказательство теоремы 1

Возьмем частичный след по пространству  $\mathcal{H}_L$  от матрицы плотности  $|r\rangle\langle r|$ .

В действительности, так как первый регистр не запутан с двумя другими, взятие частичного следа эквивалентно просто «отбрасыванию» первого регистра. Обозначим такое состояние через  $|r_1\rangle$ :

$$|r_1\rangle = \begin{cases} \sum_{x \in V_{nl}} |x\rangle |\phi(x) \oplus \gamma\rangle, & b = 0, \\ \sum_{x \in V_{nl}} |x\rangle |x \oplus \gamma\rangle, & b = 1. \end{cases}$$

# Построение атаки

## Доказательство теоремы 1

Подействуем на  $|r_1\rangle$  оператором  $U_1 = CX$ :

$$|r_2\rangle = U_1|r_1\rangle = \begin{cases} \sum_{x \in V_{nl}} |x\rangle |x \oplus \phi(x) \oplus \gamma\rangle, & b = 0, \\ \sum_{x \in V_{nl}} |x\rangle |\gamma\rangle, & b = 1. \end{cases}$$

Заметим, что при  $b = 1$  регистры более не являются запутанными:

$$\sum_{x \in V_{nl}} |x\rangle |\gamma\rangle = \left( \sum_{x \in V_{nl}} |x\rangle \right) |\gamma\rangle.$$

# Построение атаки

## Доказательство теоремы 1

Пусть  $U_2 = H \otimes I$ .

Нарушитель  $\mathcal{A}$  проводит измерение первого регистра состояния  $U_2|r_1\rangle$  и возвращает 1, если был получен  $|0\rangle$ , и 0 – в противном случае.

# Построение атаки

## Доказательство теоремы 1

При  $b = 1$  измерение первого регистра состояния  $U_1|r_2\rangle$  дает  $|0\rangle$  с вероятностью 1, так как:

$$U_2|r_2\rangle = U_2(|+\rangle|\gamma\rangle) = |0\rangle|\gamma\rangle.$$

Таким образом:

$$\Pr[\mathcal{A} \Rightarrow 1|b = 1] = 1. \tag{1}$$

# Построение атаки

## Доказательство теоремы 1

Рассмотрим теперь случай  $b = 0$ . Пусть  $f = x \mapsto x \oplus \phi(x) \oplus \gamma$ . По лемме 1 вероятность получения  $|0\rangle$  при измерении первого регистра состояния  $U_2|r_2\rangle$  равна:

$$\frac{1}{2^{2nl}} \sum_{y \in V_{nl}} |f^{-1}(y)|^2 = \frac{1}{2^{nl}} \left( \frac{1}{2^{nl}} \sum_{y \in V_{nl}} |f^{-1}(y)|^2 \right) = \frac{1}{2^{nl}} \mathbb{M} \left[ |f^{-1}(y)|^2 \right], \quad (2)$$

где  $\mathbb{M}[X]$  — математическое ожидание с.в.  $X$ , а  $f^{-1} : V_{nl} \rightarrow \mathcal{P}(V_{nl})$  — функция, ставящая в соответствие элементу  $y \in V_{nl}$  множество его прообразов относительно функции  $f$ .

Заметим, что сумма в (2) пробегает все возможные значения  $y$ , следовательно эквивалентно рассматривать функцию  $f = x \mapsto x \oplus f(x)$ .

# Построение атаки

## Доказательство теоремы 1

Заметим, что для каждого  $y \in V_{nl}$ :

$$|f^{-1}(y)|^2 = |\{(x_1, x_2) | \phi(x_1) = x_1 \oplus y \wedge \phi(x_2) = x_2 \oplus y\}|.$$

Отсюда:

$$\begin{aligned} \mathbb{M} \left[ |f^{-1}(y)|^2 \right] &= \sum_{\substack{x_1 \in V_{nl} \\ x_2 \in V_{nl}}} \Pr [\phi(x_1) = x_1 \oplus y \wedge \phi(x_2) = x_2 \oplus y] = \\ &= \sum_{x_1 \in V_{nl}} \Pr [\phi(x_1) = x_1 \oplus y] + \sum_{\substack{x_1 \in V_{nl} \\ x_2 \in V_{nl} \\ x_2 \neq x_1}} \Pr [\phi(x_1) = x_1 \oplus y \wedge \phi(x_2) = x_2 \oplus y] \end{aligned}$$



# Построение атаки

## Доказательство теоремы 1

$$\sum_{x_1 \in V_{nl}} \Pr [\phi(x_1) = x_1 \oplus y] = 1,$$

так как сумма содержит  $2^{nl}$  слагаемых, каждое из которых равно  $\frac{1}{2^{nl}}$ .

$$\sum_{\substack{x_1 \in V_{nl} \\ x_2 \in V_{nl} \\ x_2 \neq x_1}} \Pr [\phi(x_1) = x_1 \oplus y \wedge \phi(x_2) = x_2 \oplus y] = 1,$$

так как сумма содержит  $2^{nl}(2^{nl} - 1)$  слагаемых, каждое из которых равно  $\frac{1}{2^{nl}(2^{nl}-1)}$ .

# Построение атаки

## Доказательство теоремы 1

Таким образом:

$$\mathbb{M} \left[ |f^{-1}(y)|^2 \right] = 2.$$

С учетом (2) вероятность получить  $|0\rangle$  при измерении первого регистра состояния  $U_2|r_2\rangle = U_2 \sum_{x \in V_{nl}} |x\rangle |x \oplus \phi(x) \oplus \gamma\rangle$  равна  $2^{1-nl}$ . Таким образом:

$$\Pr [\mathcal{A} \Rightarrow 1 | b = 0] = 2^{1-nl}. \quad (3)$$

# Построение атаки

## Доказательство теоремы 1

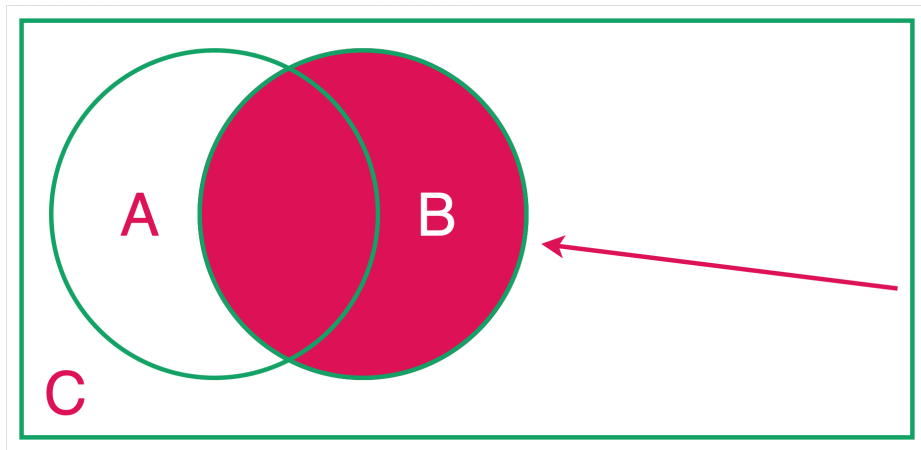
Из (1) и (3) следует:

$$\mathbf{Adv}_{\text{DEC}^\pi}^{\text{qROP-qfdeCPA}}(\mathcal{A}) = 1 - 2^{1-nl}.$$

Теорема доказана.

# Результаты

- Предложена модель qROP-qfdeCPA, формализующая обеспечение конфиденциальности информации на носителе с блочно-ориентированной структурой при наличии у нарушителя доступа к квантовому оракулу.
- Предложена адаптация известной атаки к режиму DEC и модели qROP-qfdeCPA.



# Спасибо за внимание!

## Контактная информация

- Коренева Алиса Михайловна: [A.Koreneva@securitycode.ru](mailto:A.Koreneva@securitycode.ru)
- Фирсов Георгий Валентинович: [G.Firsov@securitycode.ru](mailto:G.Firsov@securitycode.ru)